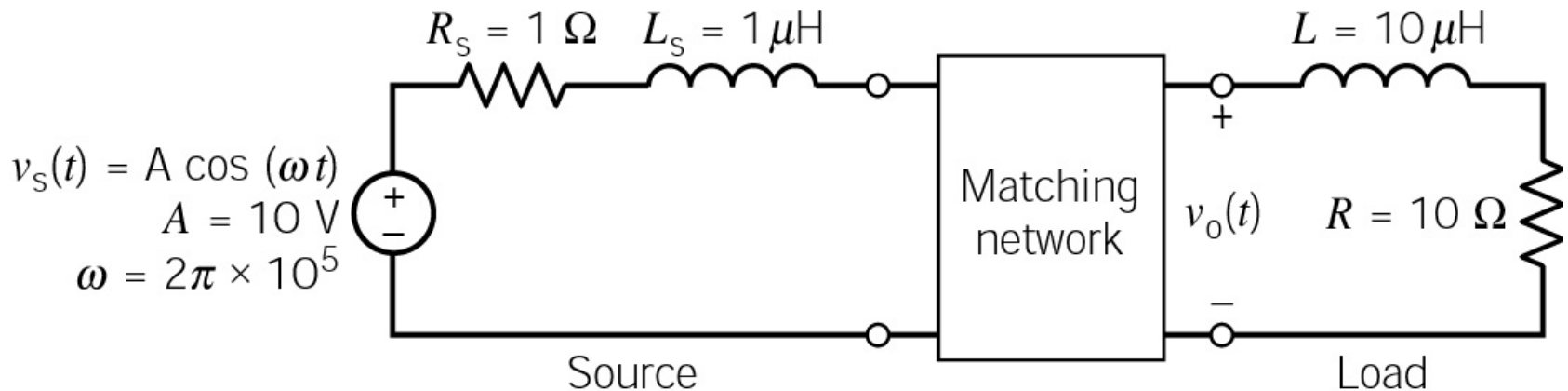


Maximum Power Transfer

- 전원과 부하 사이에 **matching network**을 삽입해서 부하에 가능한 한 많은 **power**를 전달하게 한다.
- **Maximum power transfer**의 중요한 응용 예는 **cellular phone**의 연결이나 **wireless radio transmitter**에서 **cell's antenna**로의 **power transfer**이다.
- 예를 들면, 실제 **cellular telephone antenna**의 **input impedance**는 $10 + j6.28 \Omega$ 이 다.
- 부하에 **maximum power**가 전달되도록 **network**을 설계하라.

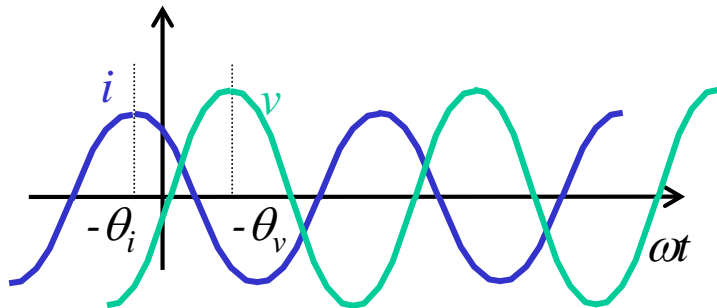
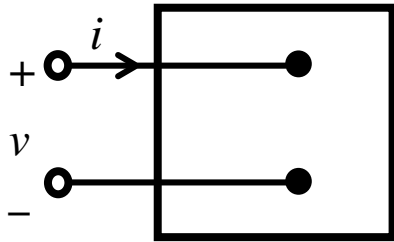


Design the matching network to transfer maximum power to the load where the load is the model of an antenna of a wireless communication system.

Sinusoidal Steady-State Power Calculations

$$v = V_m \cos(\omega t + \theta_v)$$

$$i = I_m \cos(\omega t + \theta_i)$$



Instantaneous power

전류가 최대가 되는 순간을 기준으로 함.

$\omega t + \theta_i = 0$ 인 순간이 기준.

$$\omega t = -\theta_i$$

$$i = I_m \cos \omega t$$

$$v = V_m \cos(\omega t + \theta_v - \theta_i)$$

$$p = vi$$

$$= \frac{V_m I_m}{2} [\cos(2\omega t + \theta_v - \theta_i) + \cos(\theta_v - \theta_i)]$$

$$= P + P \cos 2\omega t - Q \sin 2\omega t$$

Average power

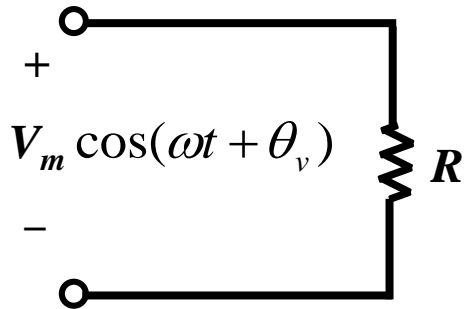
$$P = \frac{1}{T} \int_{t_0}^{t_0+T} p dt = \frac{V_m I_m}{2} \cos(\theta_v - \theta_i)$$

$$Q = \frac{V_m I_m}{2} \sin(\theta_v - \theta_i)$$

RMS Value

*Rms value*는 *dc* 와의 비교값.

저항회로에 정현파 전압의 가해질 때 전달되는 파워.



$$P = \frac{1}{T} \int_{t_0}^{t_0+T} \frac{V_m^2 \cos^2(\omega t + \theta_v)}{R} dt$$

$$= \frac{1}{R} \left[\frac{1}{T} \int_{t_0}^{t_0+T} V_m^2 \cos^2(\omega t + \theta_v) dt \right] = \frac{V_{rms}^2}{R}$$

즉, 전압을 V_{rms} 로 나타내면 V_{dc} 일 때 전달되는 에너지와 비교할 수 있다.

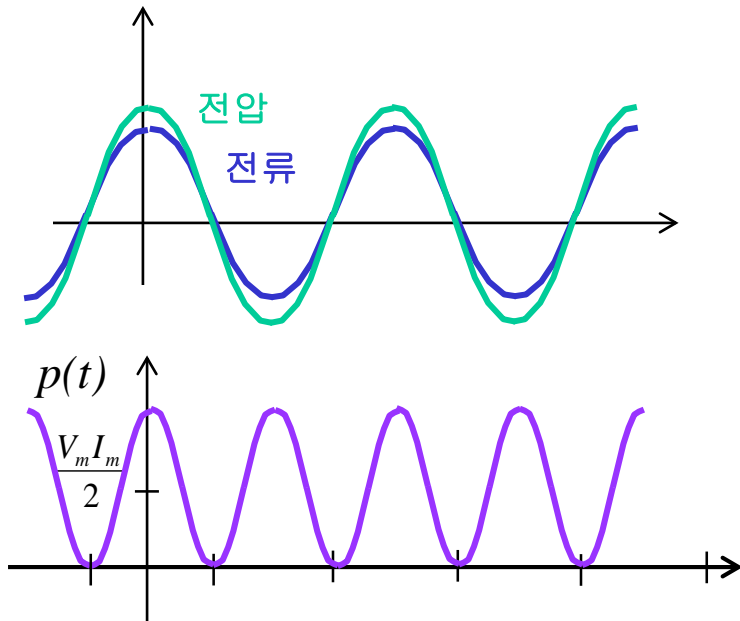
$V_{rms} = 100 \text{ V}$ 이면 $V_{dc} = 100 \text{ V}$ 일 때 전달되는 에너지와 같다.

$$P = \frac{V_m I_m}{2} \cos(\theta_v - \theta_i) = V_{rms} I_{rms} \cos(\theta_v - \theta_i), \quad Q = \frac{V_m I_m}{2} \sin(\theta_v - \theta_i) = V_{rms} I_{rms} \sin(\theta_v - \theta_i)$$

정현파 220 V - 100 W 백열전구에서 저항은 $P = \frac{V^2}{R} \Rightarrow R = \frac{V^2}{P} = 484 \Omega$

전류는 $I = \frac{V}{R} = 0.455 \text{ A}$ 이다. 전류의 진폭은 $\sqrt{2} \times 0.455 = 0.636 \text{ A}$ 이다.

Power for Purely Resistive Circuits



Current is in the same phase of voltage

$$p(t) = P + P \cos 2\omega t - Q \sin 2\omega t$$

따라서,

$$\theta_i = \theta_v$$

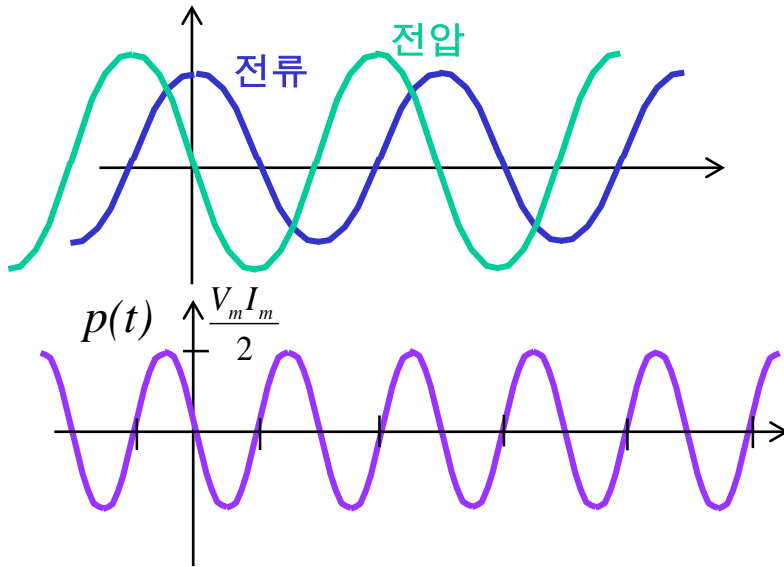
$$\cos(\theta_v - \theta_i) = 1, \quad \sin(\theta_v - \theta_i) = 0$$

$$p(t) = P + P \cos 2\omega t$$

$p(t)$ 는 **instantaneous real power** 이고, **real power**란 전기적인 파워로부터 다른 형태의 파워로 바꿀 수 있는 파워이다.

순수 저항 회로라면 전기적 에너지가 열 에너지로 변환되고, 회로 내부에 에너지를 저장할 수 없으므로 **instantaneous real power**는 음이 되는 경우는 없다.

Power for Purely Inductive Circuits



$$p(t) = P + P \cos 2\omega t - Q \sin 2\omega t$$

Current lags voltage by 90°

$$\theta_v = \theta_i + 90^\circ$$

따라서 $\cos(\theta_v - \theta_i) = 0$, $\sin(\theta_v - \theta_i) = 1$

$$p(t) = -Q \sin 2\omega t$$

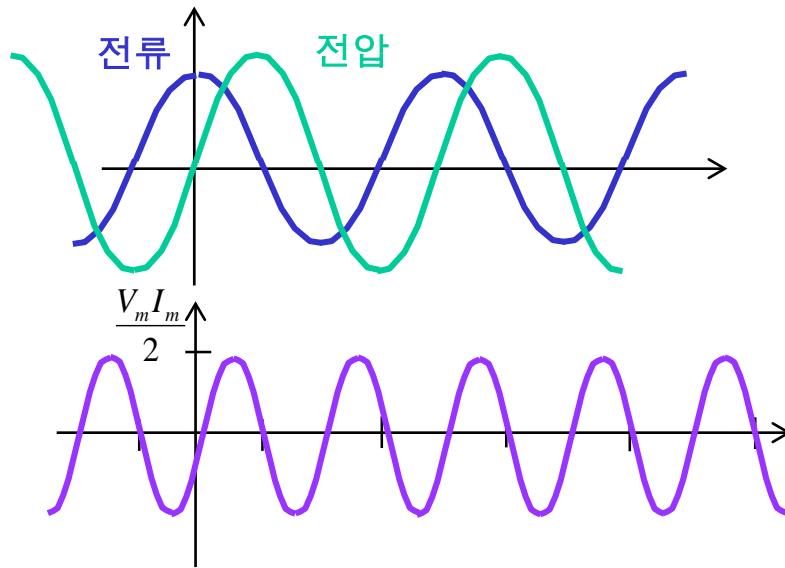
Average power는 영이므로 에너지의 변환은 없다.

Instantaneous power는 **reactive power**이고 회로에서 부하와 전원사이를 오간다.

$p > 0$ 이면 전원 \rightarrow 부하.

$p < 0$ 이면 전원 \leftarrow 부하.

Power for Purely Capacitive Circuits



$$p(t) = P + P \cos 2\omega t - Q \sin 2\omega t$$

Current leads voltage by 90°

$$\theta_i = \theta_v + 90^\circ$$

따라서 $\cos(\theta_v - \theta_i) = 0$, $\sin(\theta_v - \theta_i) = -1$

$$p(t) = -Q \sin 2\omega t$$

Average power는 영이므로 에너지의 변환은 없다.

Instantaneous power는 **reactive power**이고 회로에서 부하와 전원사이를 오간다.

$p > 0$ 이면 전원 \rightarrow 부하.

$p < 0$ 이면 전원 \leftarrow 부하.

Real(Average) Power and Reactive Power

Instantaneous power

$$p(t) = P + P \cos 2\omega t - Q \sin 2\omega t$$

Real (Average) power

$$P = V_{rms} I_{rms} \cos(\theta_v - \theta_i)$$

$$= V_{rms} I_{rms} pf$$

$$\therefore pf = \cos(\theta_v - \theta_i)$$

Reactive power

$$Q = V_{rms} I_{rms} \sin(\theta_v - \theta_i)$$

$$= V_{rms} I_{rms} rf$$

$$\therefore rf = \sin(\theta_v - \theta_i)$$

(1) 단위 P : Watt, Q : VAR (Volt-Amp Reactive)

(2) 전류를 기준으로 하면

인덕터는 $\theta_v - \theta_i = 90^\circ$ 이므로 $Q > 0$: 인덕터는 *magnetizing vars*를 흡수.

커패시터는 $\theta_v - \theta_i = -90^\circ$ 이므로 $Q < 0$: 커패시터는 *magnetizing vars*를 전달.

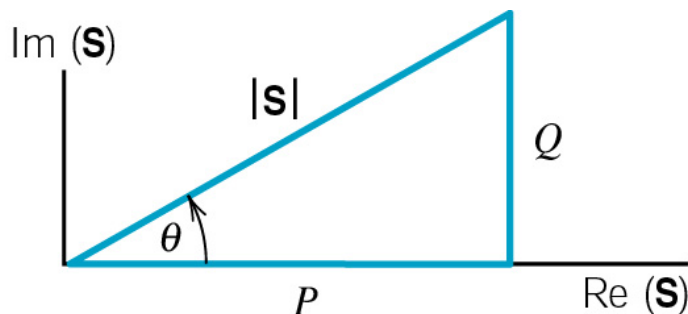
(3) *power factor* 값을 알 경우 *reactive factor* 의 값을 알 수 있어도 부호를 결정할 수 없다.

lagging pf 라 하면 유도성이므로 Q 는 양이고,

leading pf 라 하면 용량성이므로 Q 는 음이 된다.

Complex Power Calculations

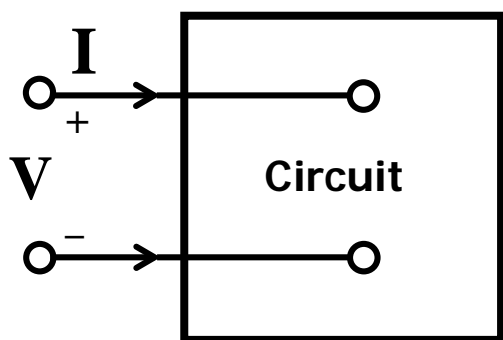
파워를 복소수로 나타낼 수 있다.



$$\mathbf{S} = P + jQ \quad P[\text{W}], Q[\text{VAR}], \mathbf{S}[\text{VA}]$$

$|\mathbf{S}|$: *apparent power*, VA(volt – amps)

\mathbf{S} 를 정리하면



Phasor voltage
and circuit

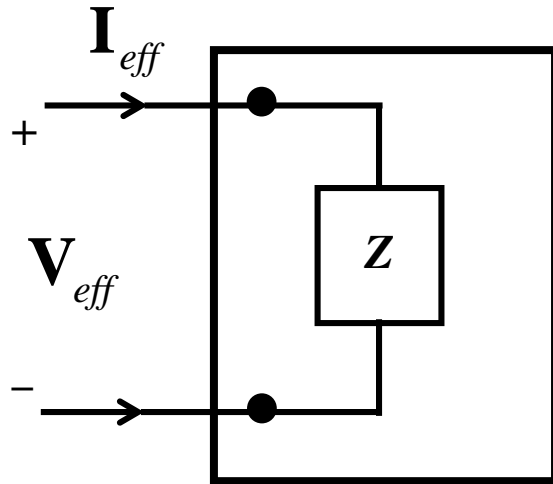
$$\begin{aligned} \mathbf{S} &= \frac{V_m I_m}{2} \cos(\theta_v - \theta_i) + j \frac{V_m I_m}{2} \sin(\theta_v - \theta_i) \\ &= \frac{V_m I_m}{2} e^{j(\theta_v - \theta_i)} = \frac{V_m I_m}{2} \angle(\theta_v - \theta_i) = V_{\text{eff}} I_{\text{eff}} \angle(\theta_v - \theta_i) \\ &= V_{\text{eff}} I_{\text{eff}} e^{j(\theta_v - \theta_i)} = V_{\text{eff}} e^{j\theta_v} I_{\text{eff}} e^{-j\theta_i} = \mathbf{V}_{\text{eff}} \mathbf{I}_{\text{eff}}^* \end{aligned}$$

여기서, $\mathbf{V}_{\text{eff}} = V_{\text{eff}} e^{j\theta_v}$, $\mathbf{I}_{\text{eff}} = I_{\text{eff}} e^{j\theta_i}$, \mathbf{I}^* : \mathbf{I} 의 공액 복소수

$$\text{따라서,} \quad \mathbf{S} = \mathbf{V}_{\text{eff}} \mathbf{I}_{\text{eff}}^* = \frac{1}{2} \mathbf{V} \mathbf{I}^*$$

Richard C. Dorf & James A. Svoboda, Introduction to Electric Circuits, 8th edition, John Wiley & Sons, 2010, p. 505

Alternate Forms for Complex Power



Z 를 사용해서 S 를 표현하자.

$$\mathbf{V}_{eff} = Z\mathbf{I}_{eff} \text{ 이므로}$$

$$\begin{aligned} S &= \mathbf{V}_{eff} \mathbf{I}_{eff}^* \\ &= |\mathbf{I}_{eff}|^2 (R + jX) \end{aligned}$$

$$\begin{aligned} \text{따라서, } P &= R|\mathbf{I}_{eff}|^2, \quad Q = X|\mathbf{I}_{eff}|^2 \\ &= \frac{1}{2} R I_m^2 \quad = \frac{1}{2} X I_m^2 \end{aligned}$$

$$\text{또한 } \mathbf{I}_{eff} = \frac{\mathbf{V}_{eff}}{Z} \text{ 이므로}$$

$$\begin{aligned} S &= \mathbf{V}_{eff} \left(\frac{\mathbf{V}_{eff}}{Z} \right)^* \\ &= |\mathbf{V}_{eff}|^2 \cdot \frac{1}{Z^*} = P + jQ \end{aligned}$$

Superposition of Average Power

- 전원이 복수일 때 각각의 전원이 독립적으로 운용될 때의 전류의 합을 구하여 전력을 구해야 한다. 특히 전원주파수가 같을 때에는 반드시 이 방법으로 구해야 한다.

$$i(t) = i_1(t) + i_2(t)$$

$$p(t) = i^2 R = (i_1 + i_2)^2 R = i_1^2 R + i_2^2 R + 2i_1 i_2 R$$

$$P = \frac{1}{T} \int_0^T (i_1 + i_2)^2 R dt$$

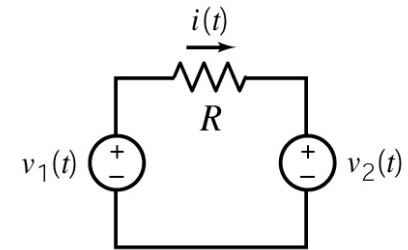
$$= \frac{1}{T} \int_0^T i_1^2 R dt + \frac{1}{T} \int_0^T i_2^2 R dt + \frac{1}{T} \int_0^T 2i_1 i_2 R dt$$

$$= P_1 + P_2 + \frac{1}{T} \int_0^T 2i_1 i_2 R dt$$

- 단, 전원의 주파수가 각각 다를 때 평균전력 중첩의 원리가 적용된다.

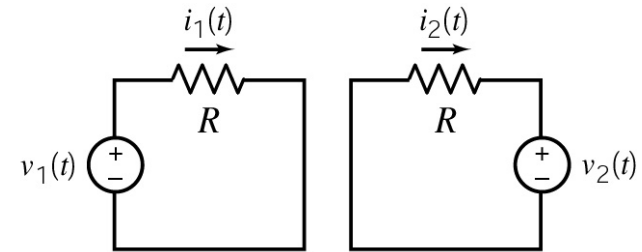
$$\frac{1}{T} \int_0^T 2i_1 i_2 R dt = \frac{1}{T} \int_0^T 2I_1 I_2 R \cos(\omega_1 t + \theta_1) \cos(\omega_2 t + \theta_2) dt = 0 \quad \text{when} \quad \omega_1 \neq \omega_2$$

$$P = \sum P_j = P_1 + P_2 + \dots$$



(a)

두 전원이 있는 회로



(b)

각각의 전원으로 구성된 회로

Example of Average Power

(1) $v_A(t) = 12 \cos 3t$ V and $v_B(t) = 4 \cos 4t$ V

- 전원의 주파수가 각각 다를 때 평균전력의 중첩의 원리가 적용된다.

$$P = P_1 + P_2$$

$$P_1 = \frac{(12/\sqrt{2})^2}{|6 + j6|^2} 6 = 6 \text{ W} , \quad P_2 = \frac{(4/\sqrt{2})^2}{|6 + j8|^2} 6 = 0.48 \text{ W}$$

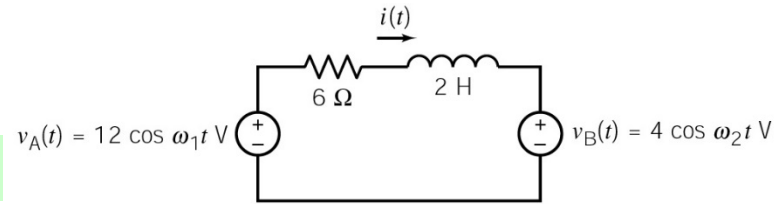
$$P = P_1 + P_2 = 6.48 \text{ W}$$

(2) $v_A(t) = 12 \cos 4t$ V and $v_B(t) = 4 \cos 4t$ V

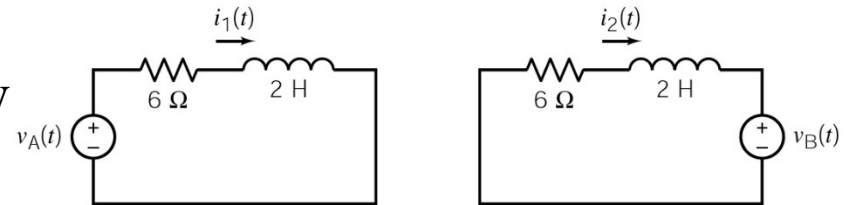
- 전원이 복수일 때 각각의 전원이 독립적으로 운용될 때의 전류의 합을 구하여 전력을 구해야 한다.

$$v(t) = v_A(t) + v_B(t) = 8 \cos 4t$$

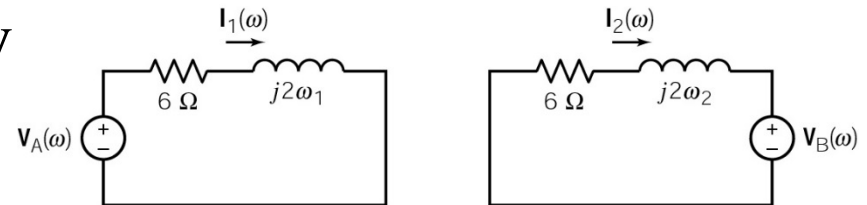
$$P = \frac{(8/\sqrt{2})^2}{|6 + j8|^2} 6 = 1.92 \text{ W}$$



두 전원이 있는 회로

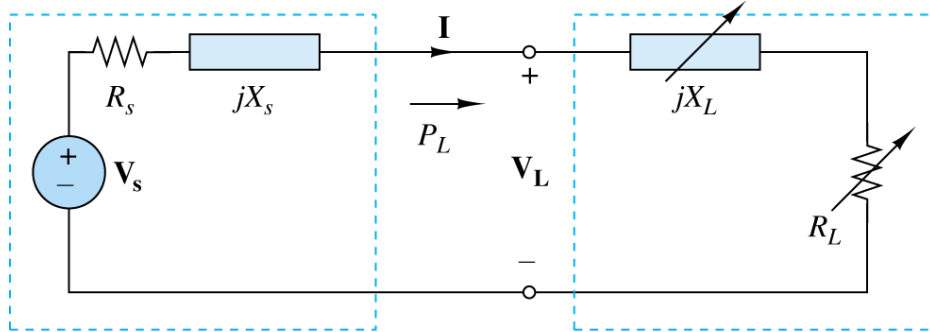


각각의 전원으로 구성된 회로



주파수 영역에서 각각의 전원으로 구성된 회로

Maximum Power Transfer



Practical source

Load

$$\mathbf{I} = \frac{\mathbf{V}_s}{(R_s + R_L) + j(X_s + X_L)},$$

$$P = P_{av} = |\mathbf{I}|^2 R_L = \frac{V_s^2 R_L}{(R_s + R_L)^2 + (X_s + X_L)^2}$$

Sinusoidal steady state 회로에서 최대 average power를 전달하려면

$$\frac{\partial P}{\partial X_L} = 0, \quad \frac{\partial P}{\partial R_L} = 0$$

$$\frac{\partial P}{\partial R_L} = \frac{V_s^2 \left[(R_s + R_L)^2 + (X_s + X_L)^2 - 2R_L(R_s + R_L) \right]}{\left[(R_s + R_L)^2 + (X_s + X_L)^2 \right]^2} = 0$$

$$\frac{\partial P}{\partial X_L} = \frac{V_s^2 [-2R_L(X_s + X_L)]}{\left[(R_s + R_L)^2 + (X_s + X_L)^2 \right]^2} = 0$$

$$X_L = -X_s$$

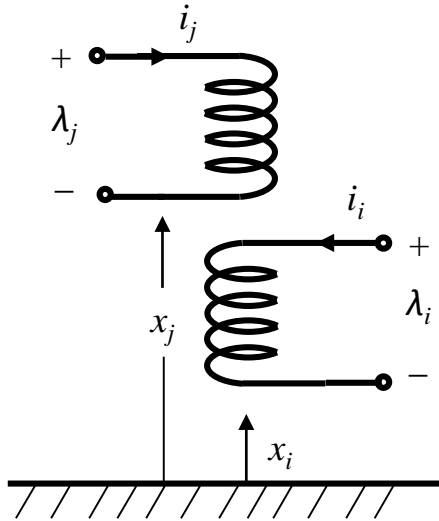
$$\frac{V_s^2 (R_s - R_L)}{(R_s + R_L)^3} = 0 \Rightarrow R_L = R_s$$

즉 부하 임피던스는 전원의 (테브난) 임피던스의 **complex conjugate**가 되어야 최대 전력이 전달된다.

$$Z_L = Z_s^*, \quad P_{\max} = \frac{V_{s,eff}^2}{4R_s}$$

Self and Mutual Inductance

$$L_{ij} \equiv \frac{\lambda_i}{i_j} \quad (i \neq j \text{ 이 때 } i_j \text{ 외의 전류는 영})$$



L_{ij} 에서 $i = j$ 이면 **self inductance**,

$i \neq j$ 이면 **mutual inductance** 이다.

즉, **self inductance**는 자기 코일의 전류에 의해 발생하는 쇠교 자속에 의한 것이고, **mutual inductance**는 남의 코일의 전류에 의해 발생하는 쇠교 자속에 의한 것이다.

$$\lambda_i = \sum_{j=1}^n L_{ij} i_j \quad v_i = \frac{d\lambda_i}{dt} = \sum_{j=1}^n L_{ij} \frac{di_j}{dt}$$

코일이 두개라면

$$v_1 = L_{11} \frac{di_1}{dt} + L_{12} \frac{di_2}{dt}$$

$$v_2 = L_{21} \frac{di_1}{dt} + L_{22} \frac{di_2}{dt}$$

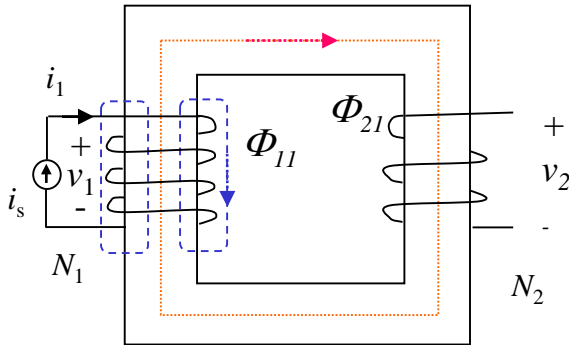
L_{11}, L_{22} : self inductance, L_{12}, L_{21} : mutual inductance

Permeance

$\lambda = N\Phi$ 이고, $\Phi = PNi$ 로 쓸 수 있다.

P (permeance) : 자속을 잘 통과시키는 정도를 나타내는 계수.

$$\lambda = N^2 P i, \quad v = \frac{d\lambda}{dt} = N^2 P \frac{di}{dt} = L \frac{di}{dt}$$

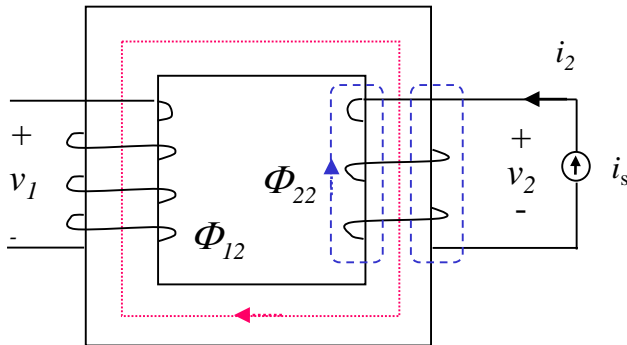


Coil 1을 통과하는 자속

$$\begin{aligned} \Phi_1 &= \Phi_{11} + \Phi_{21} \\ v_1 &= \frac{d\lambda_1}{dt} = N_1 \frac{d\Phi_1}{dt} \\ &= L_{11} \frac{di_1}{dt} \end{aligned}$$

Coil 2를 통과하는 자속

$$\begin{aligned} \Phi_2 &= \Phi_{21} \\ v_2 &= \frac{d\lambda_2}{dt} = N_2 \frac{d\Phi_2}{dt} \\ &= L_{21} \frac{di_1}{dt} \end{aligned}$$



Coil 1을 통과하는 자속

$$\begin{aligned} \Phi_1 &= \Phi_{12} \\ v_1 &= \frac{d\lambda_1}{dt} = N_1 \frac{d\Phi_1}{dt} \\ &= L_{12} \frac{di_2}{dt} \end{aligned}$$

Coil 2를 통과하는 자속

$$\begin{aligned} \Phi_2 &= \Phi_{22} + \Phi_{12} \\ v_2 &= \frac{d\lambda_2}{dt} = N_2 \frac{d\Phi_2}{dt} \\ &= L_{22} \frac{di_2}{dt} \end{aligned}$$

Mutual Inductance in terms of Self-Inductance

$$\text{Since } L_1 = N_1^2 P_1 \quad \text{and} \quad L_2 = N_2^2 P_2$$

$$P_1 = P_{11} + P_{21} \quad \text{and} \quad P_2 = P_{22} + P_{12}$$

$$L_1 L_2 = N_1^2 N_2^2 (P_{11} + P_{21})(P_{22} + P_{12}) \quad \text{and} \quad P_{12} = P_{21} = P_m$$

$$\text{Therefore, } L_1 L_2 = N_1^2 N_2^2 P_m^2 (P_{11}/P_m + 1)(P_{22}/P_m + 1)$$

$$\text{Set that } 1/k^2 = (P_{11}/P_m + 1)(P_{22}/P_m + 1) \quad \text{and} \quad L_{12} = L_{21} = M = N_1 N_2 P_m$$

$$L_1 L_2 = N_1^2 N_2^2 P_m^2 (P_{11}/P_m + 1)(P_{22}/P_m + 1) = M^2 / k^2$$

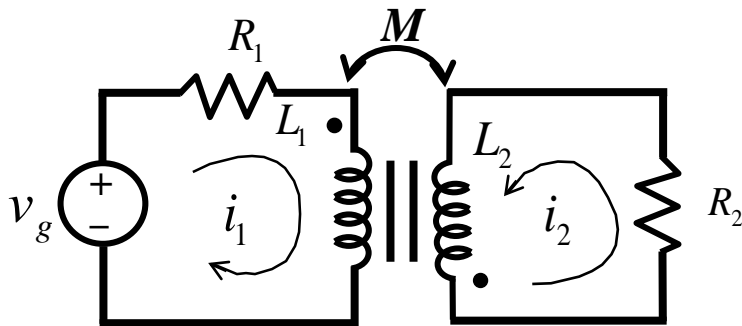
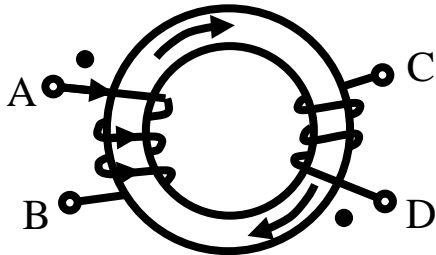
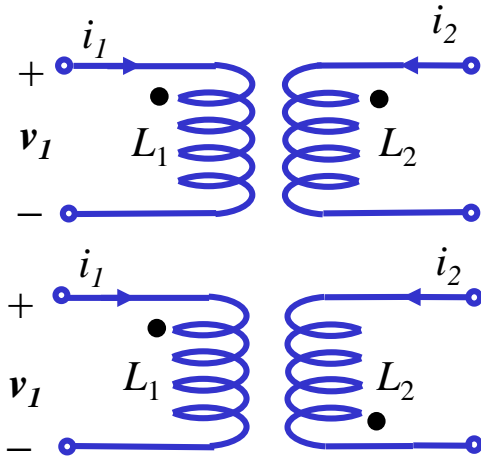
$$\text{Mutual Inductance } M = k \sqrt{L_1 L_2}$$

여기서 k : 결합계수이다. ($0 \leq k \leq 1$)

$$P_m = 0 \quad \rightarrow \quad k = 0$$

$$P_m = \infty \quad \rightarrow \quad k = 1$$

Dot Convention



Mutual inductance에 의해 발생하는 자속은 코일 전류의 방향 또는 권선을 감아 놓은 방향에 따라 더해질 수도 감해질 수도 있다. 이 때 **dot**가 있는 쪽으로 전류가 흘러 들어가면 자속은 더해진다고 약속해 두었다.

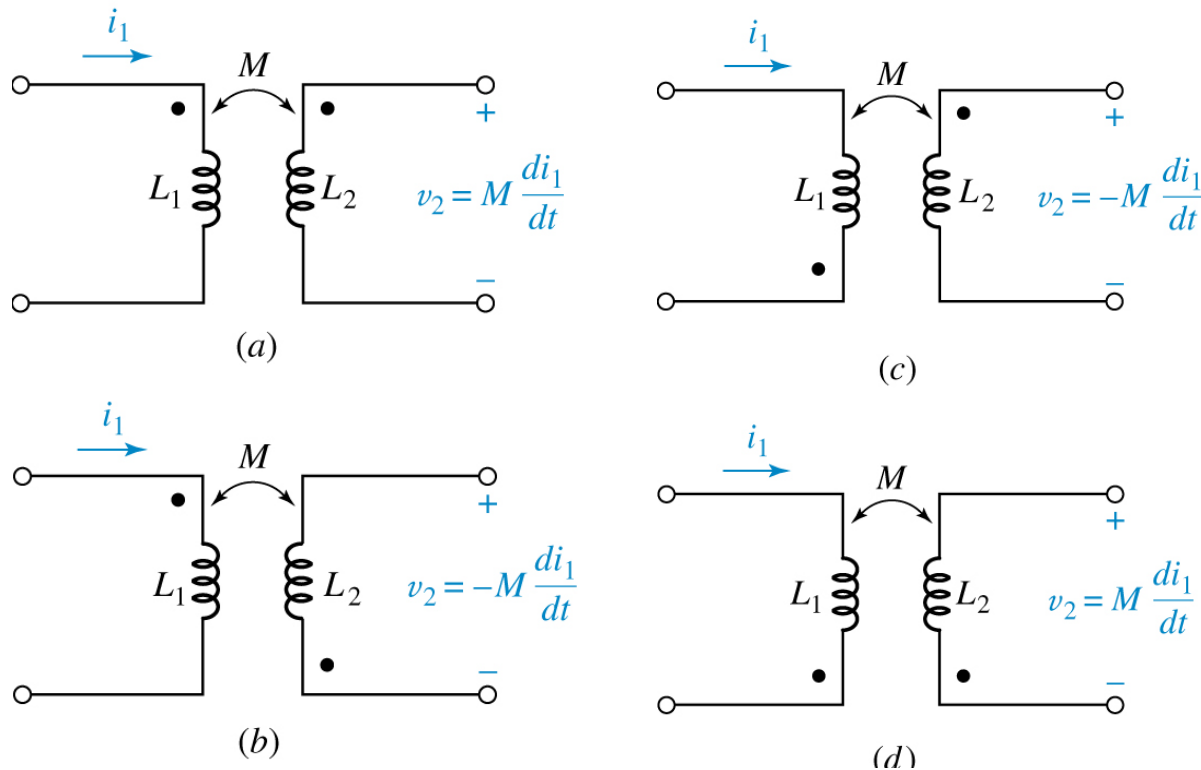
Dot marking 순서

- (1) 한 단자에 **marking**하고 전류를 흘려 **flux**를 발생시킨다.
- (2) 다른 코일의 한 단자를 선택하고 전류를 흘려서 **flux**를 발생시킨다.
- (3) 두 **flux**가 더해지면 그 단자에 **marking**하고 두 **flux**가 빼지면 다른 단자에 **marking** 한다.

$$v_g = R_1 i_1 + L_1 \frac{di_1}{dt} - M \frac{di_2}{dt}$$

$$0 = R_2 i_2 + L_2 \frac{di_2}{dt} - M \frac{di_1}{dt}$$

Dot Convention - Example



Current entering the dotted terminal of one coil produces a voltage that is sensed positively at the dotted terminal of the second coil. Current entering the undotted terminal of one coil produces a voltage that is sensed positively at the undotted terminal of the second coil.

Energy Calculations

$$p = vi = v_1 i_1 + v_2 i_2 = \frac{d\lambda_1}{dt} i_1 + \frac{d\lambda_2}{dt} i_2$$

$$dw = p dt = i_1 d\lambda_1 + i_2 d\lambda_2 = i_1 d(L_1 i_1 + M_{12} i_2) + i_2 d(L_2 i_2 + M_{21} i_1)$$

경로 구간(1) $i_1 = 0 \rightarrow I_1, \quad i_2 = 0, \quad di_2 = 0$

$$W_1 = \int_0^{I_1} L_1 i_1 di_1 = \frac{1}{2} L_1 I_1^2$$

경로 구간(2) $i_1 = I_1, \quad di_1 = 0, \quad i_2 = 0 \rightarrow I_2$

$$W_2 = \int_0^{I_2} M_{12} I_1 di_2 + \int_0^{I_2} L_2 i_2 di_2 = M_{12} I_1 I_2 + \frac{1}{2} L_2 I_2^2$$

$$W = W_1 + W_2 = \frac{1}{2} L_1 I_1^2 + M_{12} I_1 I_2 + \frac{1}{2} L_2 I_2^2$$

다른 경로를 취하면

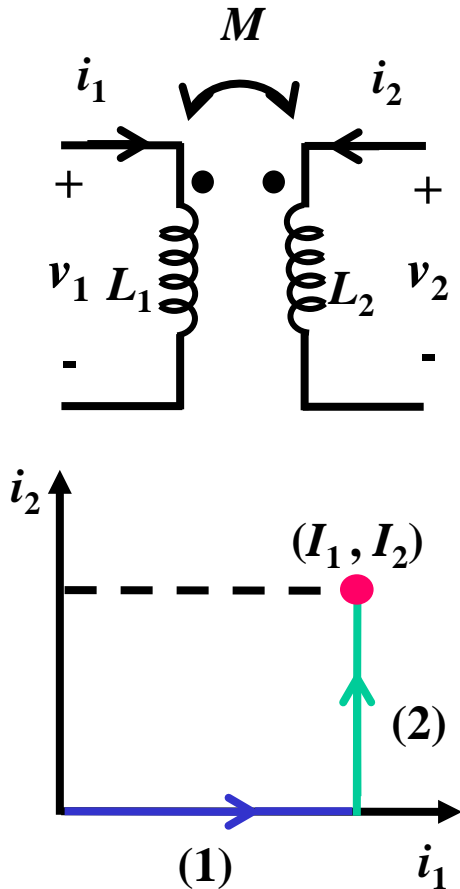
$$W = \frac{1}{2} L_1 I_1^2 + M_{21} I_1 I_2 + \frac{1}{2} L_2 I_2^2 \quad \therefore M_{12} = M_{21} = M$$

전류가 *flux*를 빼는 방향이라면
$$W = \frac{1}{2} L_1 I_1^2 - M I_1 I_2 + \frac{1}{2} L_2 I_2^2$$

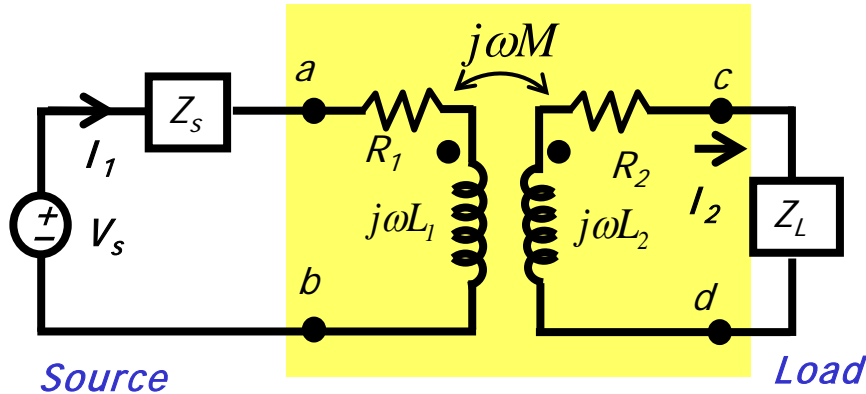
이 경우, 소자가 모두 수동 소자이므로

$$W \geq 0 \text{ 이고 } W = \frac{1}{2} (\sqrt{L_1} I_1 - \sqrt{L_2} I_2)^2 + (\sqrt{L_1 L_2} - M) I_1 I_2 \geq 0$$

$$\therefore \sqrt{L_1 L_2} \geq M \text{ 이고 } M = k \sqrt{L_1 L_2} \quad (0 \leq k \leq 1)$$



Linear Transformer



- Transformer : Magnetic coupling을 이용하는 대표적인 기기
- Transformer는 직류 전류나 전압은 전달하지 않으므로 교류만을 분리할 때도 이용
- 선형은 magnetic flux가 전류에 비례한다는 의미
- Sinusoidal steady-state를 해석

$$1차측 \quad -V_s + Z_s I_1 + (R_1 + j\omega L_1)I_1 - j\omega M I_2 = 0$$

$$2차측 \quad Z_L I_2 + (R_2 + j\omega L_2)I_2 - j\omega M I_1 = 0$$

$$\text{정리하면} \quad \begin{pmatrix} Z_{11} & -j\omega M \\ -j\omega M & Z_{22} \end{pmatrix} \begin{pmatrix} I_1 \\ I_2 \end{pmatrix} = \begin{pmatrix} V_s \\ 0 \end{pmatrix}$$

Z_{11}, Z_{22} : Total self-impedance

$$I_1 = \frac{Z_{22} V_s}{Z_{11} Z_{22} + (\omega M)^2}, \quad I_2 = \frac{j\omega M V_s}{Z_{11} Z_{22} + (\omega M)^2}$$

전원 단자에서 본 impedance

$$\frac{V_s}{I_1} = \frac{Z_{11} Z_{22} + (\omega M)^2}{Z_{22}} = Z_{11} + \frac{(\omega M)^2}{Z_{22}} = Z_{\text{internal}}$$

ab 단자에서 본 impedance

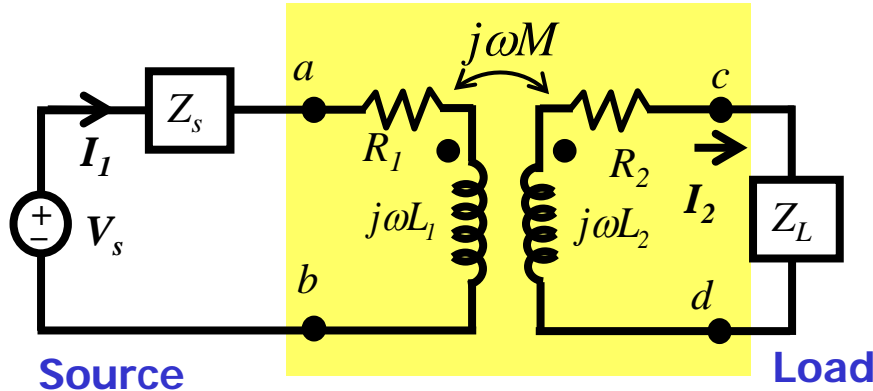
$$\begin{aligned} Z_{ab} &= Z_{\text{int}} - Z_s = Z_{11} - Z_s + \frac{(\omega M)^2}{Z_{22}} \\ &= R_1 + j\omega L_1 + \frac{(\omega M)^2}{(R_2 + j\omega L_2 + Z_L)} \end{aligned}$$

Z_r : Reflected impedance

$$\begin{aligned} Z_r &= \frac{(\omega M)^2 [(R_2 + R_L) - j(\omega L_2 + X_L)]}{(R_2 + R_L)^2 + (\omega L_2 + X_L)^2} \\ &= \frac{(\omega M)^2}{|Z_{22}|^2} Z_{22}^* \end{aligned}$$

Scale $\frac{(\omega M)^2}{|Z_{22}|^2}$, reactive : 부호 바뀜

Exploring Limiting Values(I)



실제 변압기에서 L_1, L_2 는 매우 크고 k 는 거의 1에 가깝다.

이럴 때의 Z_{ab} 를 구해보자.

$$Z_{ab} = R_1 + j\omega L_1 + \frac{(\omega M)^2}{(R_2 + j\omega L_2 + Z_L)} = R_1 + j\omega L_1 + \frac{(\omega M)^2 (R_{22} - jX_{22})}{R_{22}^2 + X_{22}^2}$$

$$= \left(R_1 + \frac{(\omega M)^2 R_{22}}{R_{22}^2 + X_{22}^2} \right) + j \left(\omega L_1 - \frac{(\omega M)^2 X_{22}}{R_{22}^2 + X_{22}^2} \right) = R_{ab} + jX_{ab}$$

여기서 $k = 1, L_1 L_2 = M^2$ 이면 $(\omega M)^2 = \omega L_1 \omega L_2$

$$X_{ab} = \omega L_1 \left[\frac{R_{22}^2 + X_{22}^2 - \omega L_2 X_{22}}{R_{22}^2 + X_{22}^2} \right]$$

$$= \omega L_1 \cdot \frac{R_{22}^2 + X_L (\omega L_2 + X_L)}{R_{22}^2 + X_{22}^2}$$

여기서 $L_1, L_2 \rightarrow \infty$

$$X_{ab} = \frac{X_L \omega^2 L_1 L_2}{\omega^2 L_2^2} = \frac{L_1}{L_2} X_L$$

Exploring Limiting Values (II)

$\frac{1}{k^2} = \left(\frac{P_{11}}{P_{12}} + 1 \right) \left(\frac{P_{22}}{P_{12}} + 1 \right)$ 에서 $k = 1$ 은 $P_{11} = 0 = P_{22}, P_{12} = \infty$ 를 의미

$$L_1 = N_1^2 P_1 = N_1^2 (P_{11} + P_{12}) = N_1^2 P_{12}$$

$$L_2 = N_2^2 P_2 = N_2^2 (P_{22} + P_{12}) = N_2^2 P_{12} \quad \text{이므로}$$

$$X_{ab} = \frac{L_1}{L_2} X_L = \left(\frac{N_1}{N_2} \right)^2 X_L \quad \text{이다.}$$

$$R_{ab} = R_1 + \frac{\omega^2 L_1 L_2 R_{22}}{R_{22}^2 + X_{22}^2} = R_1 + \frac{L_1}{L_2} R_{22} = R_1 + \left(\frac{N_1}{N_2} \right)^2 R_{22}$$

따라서, $Z_{ab} = R_1 + \left(\frac{N_1}{N_2} \right)^2 R_{22} + j \left(\frac{N_1}{N_2} \right)^2 X_L = R_1 + \left(\frac{N_1}{N_2} \right)^2 (R_2 + R_L + jX_L)$

$k = 1$ 이고 L_1, L_2 가 매우 크면 ab 단자에서 2차 코일을 보았을 때 2차 코일 저항 R_2 와 부하 임피던스 Z_L 은

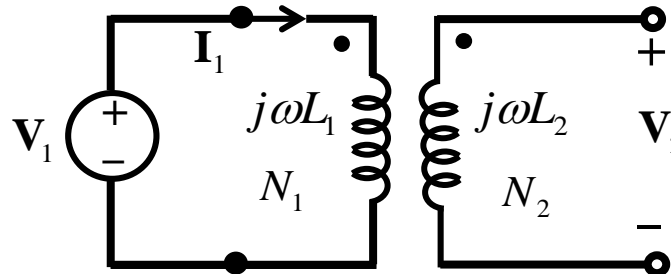
$$\left(\frac{N_1}{N_2} \right)^2 \text{ 배가 된다.}$$

Ideal Transformer

이상적인 변압기의 성질

(1) $k = 1$, (2) $L_1 = L_2 = \infty$, (3) *coil losses* = 0, $R_1 = R_2 = 0$

open

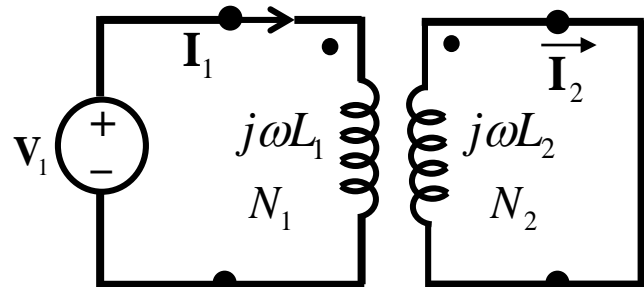


$$-V_1 + j\omega L_1 I_1 = 0$$

$$V_2 = j\omega M I_1 = j\omega M \frac{V_1}{j\omega L_1} = \frac{M}{L_1} V_1$$

$$= \sqrt{\frac{L_2}{L_1}} V_1 = \frac{N_2}{N_1} V_1 \quad \therefore \frac{V_1}{V_2} = \frac{N_1}{N_2}$$

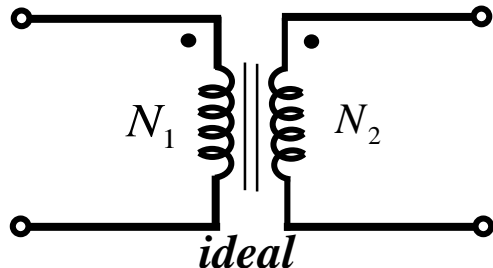
short



$$-V_1 + j\omega L_1 I_1 - j\omega M I_2 = 0$$

$$j\omega L_2 I_2 - j\omega M I_1 = 0$$

$$L_2 I_2 = M I_1 = \sqrt{L_2 L_1} I_1 \quad \therefore \frac{I_1}{I_2} = \sqrt{\frac{L_2}{L_1}} = \frac{N_2}{N_1}$$

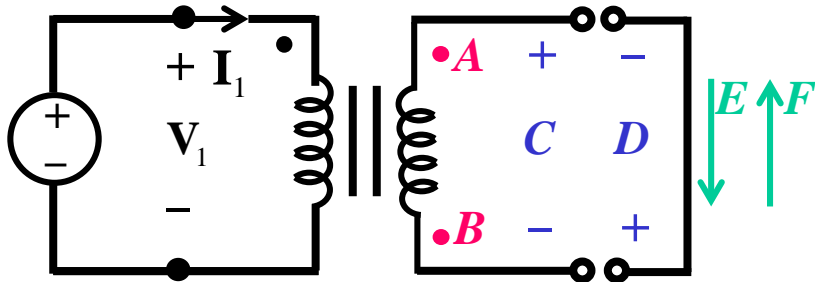


이상적인 변압기의 기호.

자기회로는 규소강을 사용하며,
변압기의 효율은 95%가 넘는다.

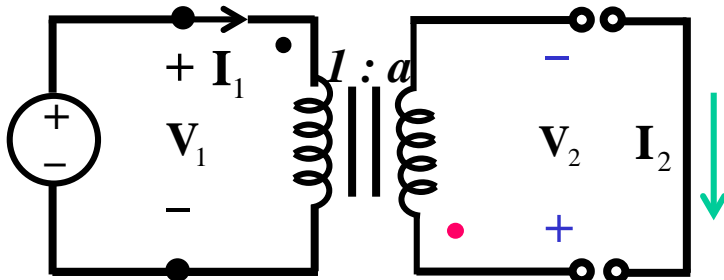
Polarity of Voltage and Current Ratio (I)

전압 부호 결정 : 2차 측 open, 전류 부호 결정 : 2차 측 short.



다음의 조합으로 회로를 결정할 수 있다.

dot : A, B 전압: C, D 전류: E, F



Case study (1) dot : B, 전압: D, 전류: E

$$\text{open : } V_2 = j\omega M I_1 = j\omega M \frac{V_1}{j\omega L_1}$$

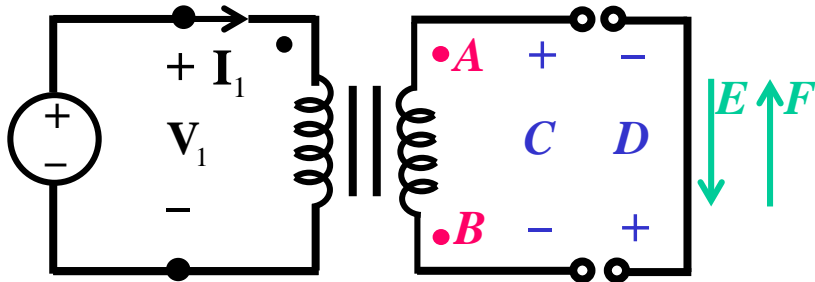
$$V_2 = \frac{M}{L_1} V_1 = \sqrt{\frac{L_2}{L_1}} V_1 = \frac{N_2}{N_1} V_1 = a V_1$$

$$\text{short : } j\omega L_2 I_2 + j\omega M I_1 = 0$$

$$I_2 = -\frac{M}{L_2} I_1 = -\sqrt{\frac{L_1}{L_2}} I_1 = -\frac{N_1}{N_2} V_1 = \frac{-I_1}{a}$$

Polarity of Voltage and Current Ratio (II)

전압 부호 결정 : 2차 측 open, 전류 부호 결정 : 2차 측 short.



다음의 조합으로 회로를 결정할 수 있다.

dot : A, B 전압: C, D 전류: E, F

Case study (2) dot : B, 전압 : C, 전류 : F

open :

$$V_2 = -j\omega M I_1 = -j\omega M \frac{V_1}{j\omega L_1}$$

$$V_2 = -\frac{M}{L_1} V_1 = -a V_1$$

short :

$$j\omega L_2 I_2 - j\omega M I_1 = 0$$

$$I_2 = \frac{M}{L_2} I_1 = \sqrt{\frac{L_1}{L_2}} I_1 = \frac{1}{a} I_1$$

Impedance Matching

전원 쪽에서 본 임피던스

$$Z_{in} = \frac{V_1}{I_1}$$

전압, 전류의 관계

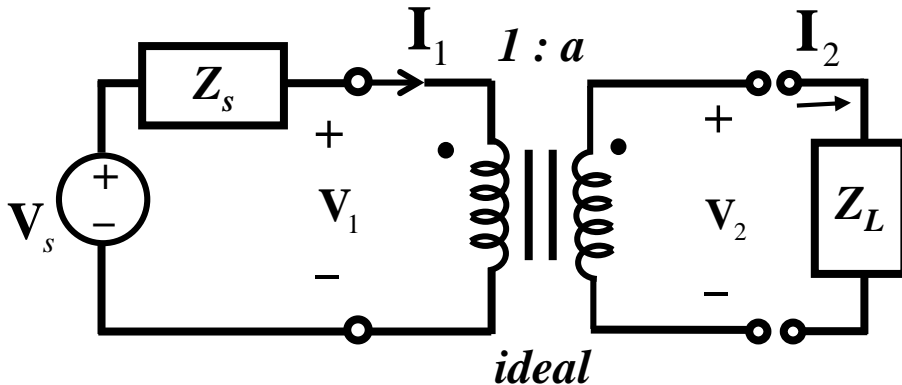
$$V_2 = j\omega M I_1 = j\omega M \frac{V_1}{j\omega L_1}$$

$$= a V_1$$

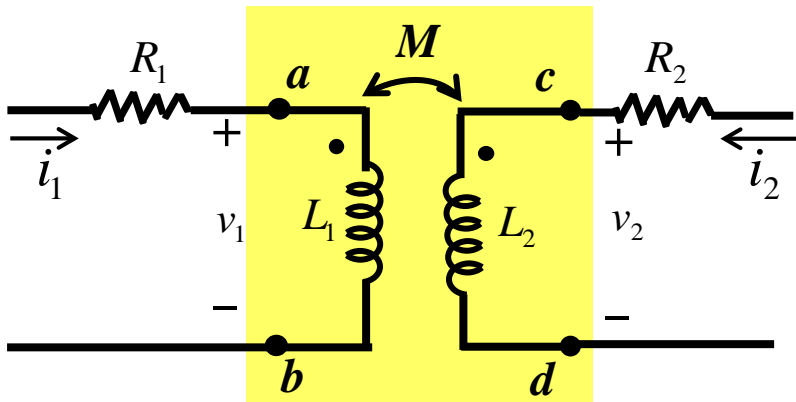
$$\text{따라서, } Z_{in} = \frac{V_1}{I_1} = \frac{\frac{1}{a} V_2}{a I_2} = \frac{1}{a^2} \frac{V_2}{I_2} = \frac{Z_L}{a^2}$$

Z_L 을 위상 변화 없이 크기를 줄일 수 있다.

최대 전력을 수송하기 위하여 변압기를 삽입하는 경우도 있음.



T-Equivalent Circuit

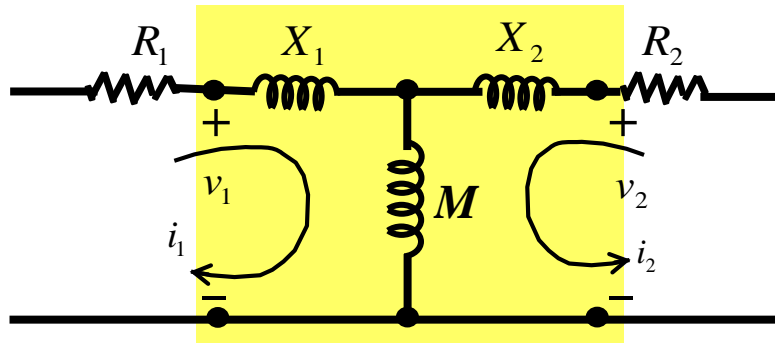


$$v_1 = L_1 \frac{di_1}{dt} + M \frac{di_2}{dt}$$

$$v_2 = L_2 \frac{di_2}{dt} + M \frac{di_1}{dt}$$

b, d 를 연결해서 원래의 전압과 전류에 영향을 주지 않는다고 가정.

X_1, X_2 를 구하자.

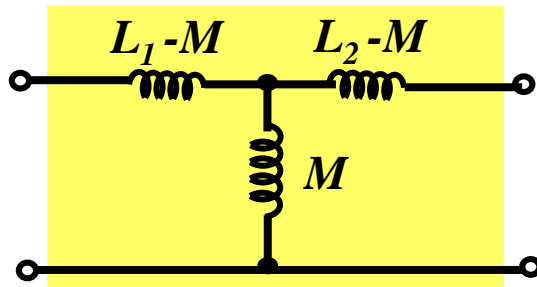


$$v_1 = X_1 \frac{di_1}{dt} + M \frac{d}{dt}(i_1 + i_2)$$

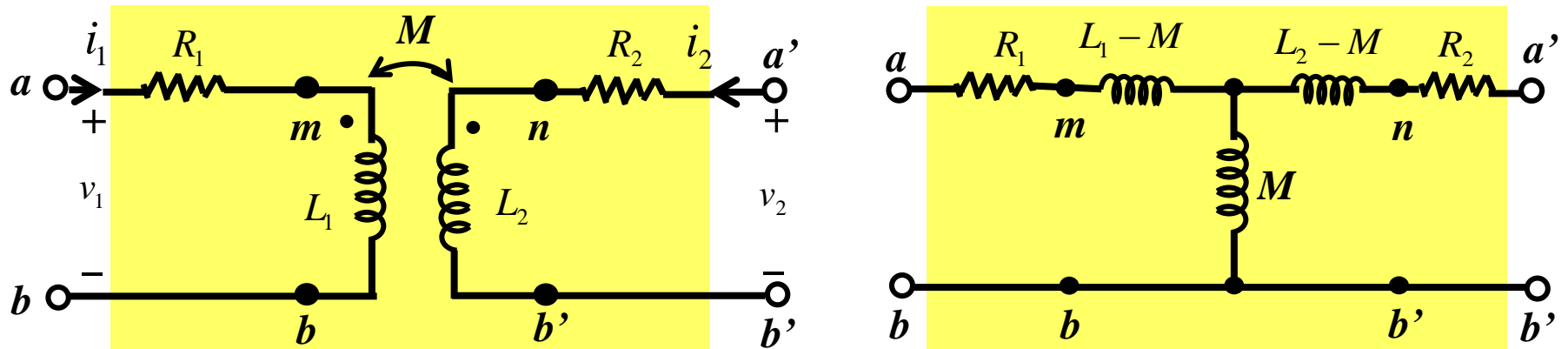
$$v_2 = X_2 \frac{di_2}{dt} + M \frac{d}{dt}(i_1 + i_2)$$

식들을 비교.

$$X_1 = L_1 - M, \quad X_2 = L_2 - M$$



Equivalent Circuit for the Nonideal Transf. (I)



- *Analysis of Electric Circuits, E. Brenner, McGraw-Hill, 1967 (pp.565-568).*

T형 등가회로의 두 가지 문제점.

(1) $L_1 - M$ 또는 $L_2 - M$ 이 음수가 될 수 있음.

계산 시에는 문제가 없으나 물리적으로 *negative inductance*는 없음.

(2) 변압기의 성질인 분리가 안됨.

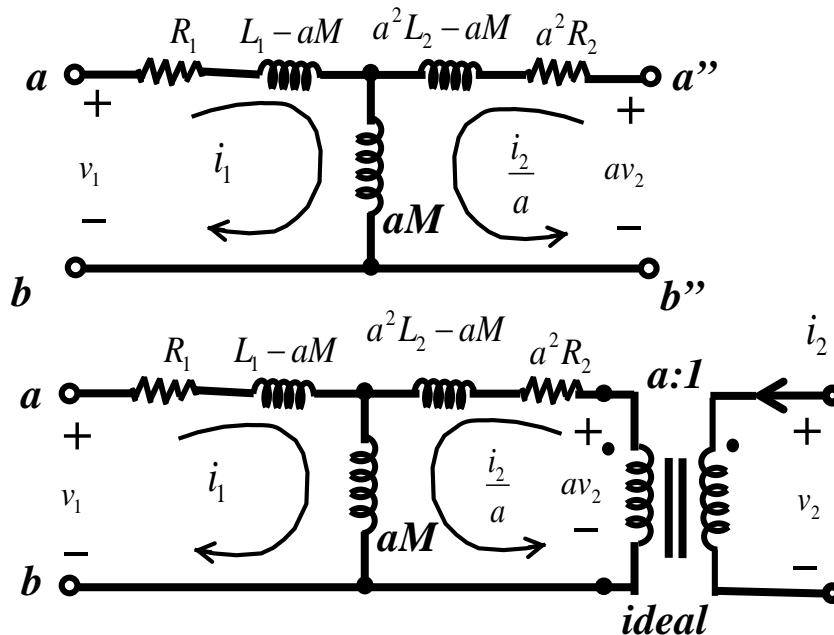
Equiv. Circuit for the Nonideal Trans. (II)

두 가지 문제점을 이상적인 변압기를 도입해서 해결.

$L_1 - M < 0$ 이라고 가정. 그리고, $L_1 - aM > 0$ 이 되는 1 보다 작은 a 가 있다고 가정하자.

$L_1 - M < 0$ 이면 $L_2 - M > 0$ (왜냐하면 $M = k\sqrt{L_1 L_2}$ 이므로)

$$\begin{aligned} v_1 &= R_1 i_1 + L_1 \frac{di_1}{dt} + M \frac{di_2}{dt} \\ v_2 &= R_2 i_2 + L_2 \frac{di_2}{dt} + M \frac{di_1}{dt} \end{aligned} \Rightarrow \begin{aligned} v_1 &= R_1 i_1 + L_1 \frac{di_1}{dt} + aM \frac{d}{dt} \left(\frac{i_2}{a} \right) \\ av_2 &= \left(a^2 R_2 + a^2 L_2 \frac{d}{dt} \right) \left(\frac{i_2}{a} \right) + aM \frac{di_1}{dt} \end{aligned}$$



a'', b'' 단자에 이상적인 변압기를 연결.

이 회로에서 a는

(1) 등가회로 안의 모든 계수가 물리적으로 의미가 있도록,

(2) 변압기의 isolating property가 유지되도록 결정한다.

Applications – Soldering Gun

- **Soldering** 이나 **welding** 은 가해지는 열이 용접할 물질이나 재질에 따라 바뀌면 안된다.
- 대전류를 일정하게 흘려야 하고 납땜의 경우, 땀납을 427도 이상으로 올려야 한다.
- 솔더링 건은 변압기의 원리를 이용하여 2차 측 솔더링 팁(1 turn)에 전류를 흘린다. 1차 측 권선은 100 W 일 때, 387 turns, 140 W 일 때, 316 turns이다.
- 출력이 140 W 일 때 1차측 권선의 전류

$$I_p = 140 \text{ W} / 120 \text{ V} = 1.17 \text{ A}$$

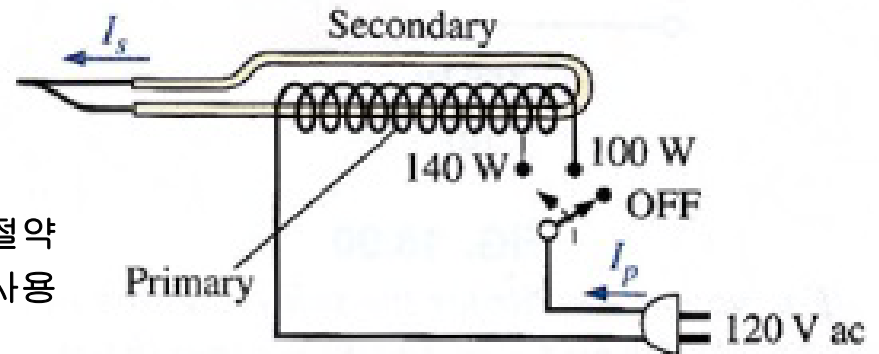
- 2차측 권선의 전류는 $1.17 \text{ A} \times 316 = 370 \text{ A}$ 이다.
- 2차 측 솔더링 팁에 300 A 이상의 전류가 흐르고, 팁의 수명은 약 20시간 정도이다.
- 그러나, 솔더링 팁이 가열된 후에는 저항이 커져서 전류는 215 A로 감소한다. 이때의 2차측 저항을 계산하면 3 mΩ 인 것을 알 수 있다.

$$R_s = 140 \text{ W} / (215 \text{ A})^2 = 3 \text{ m}\Omega$$

- Gun 타입이어서 사용하지 않을 때 off 가 되어 에너지 절약에 도움이 되고, 팁의 수명도 늘일 수 있다. 또한 교류를 사용하여 직류로는 쉽게 만들 수 없는 대전류를 만들었다.

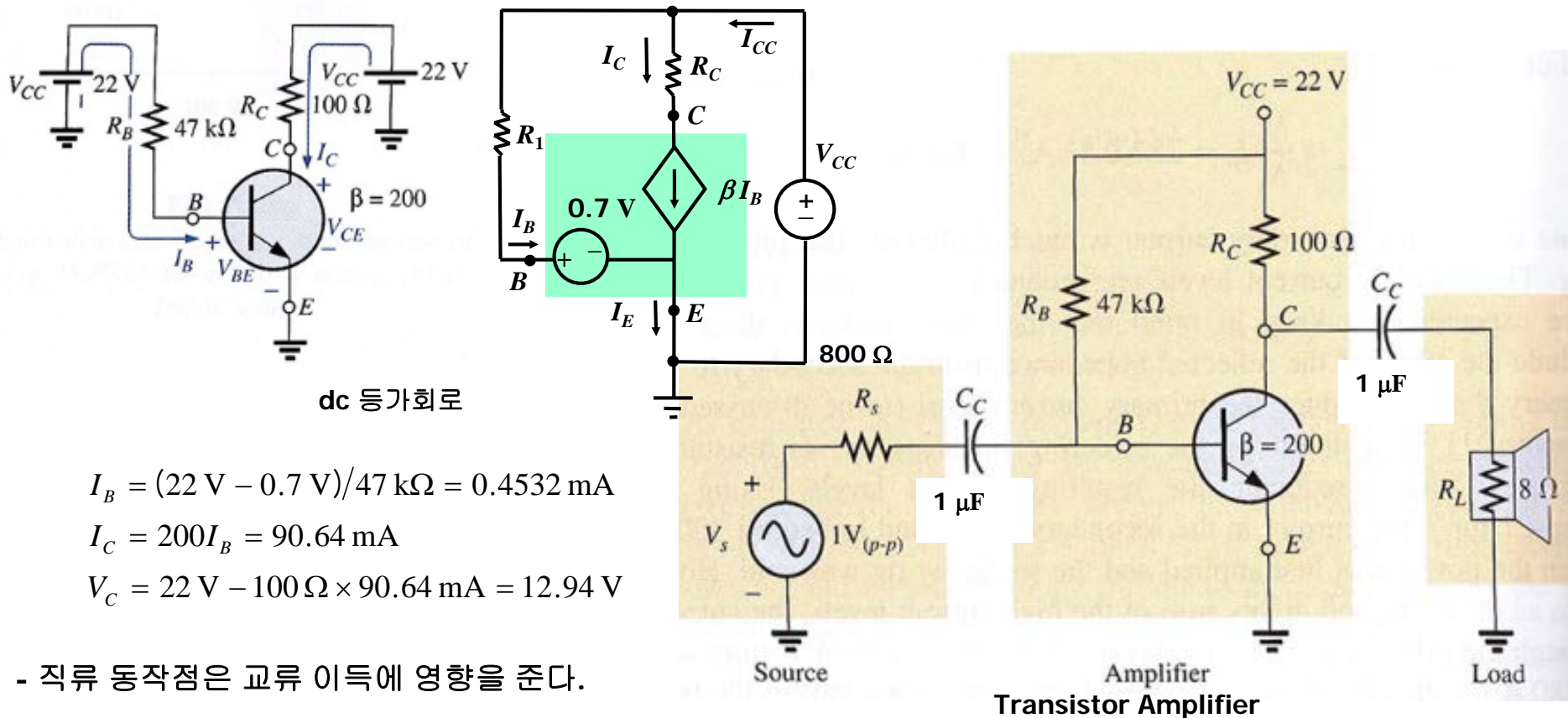


Soldering Gun Robert L. Boylestad, Introductory Circuit Analysis, 10th edition, Prentice Hall, 2002, p. 823, Figure 18.89



Applications – Transistor Power Amplifier (I)

- 전자회로를 직류해석과 교류해석을 각각 하고, 이를 중첩하여 전체 해석을 할 수 있다.
- 입력 전원에는 피크-피크 전압이 **1 V**, 즉 실효값이 **0.357 V** 이고 전원의 내부저항은 **800 Ω**이며, 스피커 저항은 **8 Ω**이고, 트랜지스터 입력저항은 **200 Ω**이다.
- **직류 해석:** 커패시터는 개방이므로 아래의 회로가 된다.

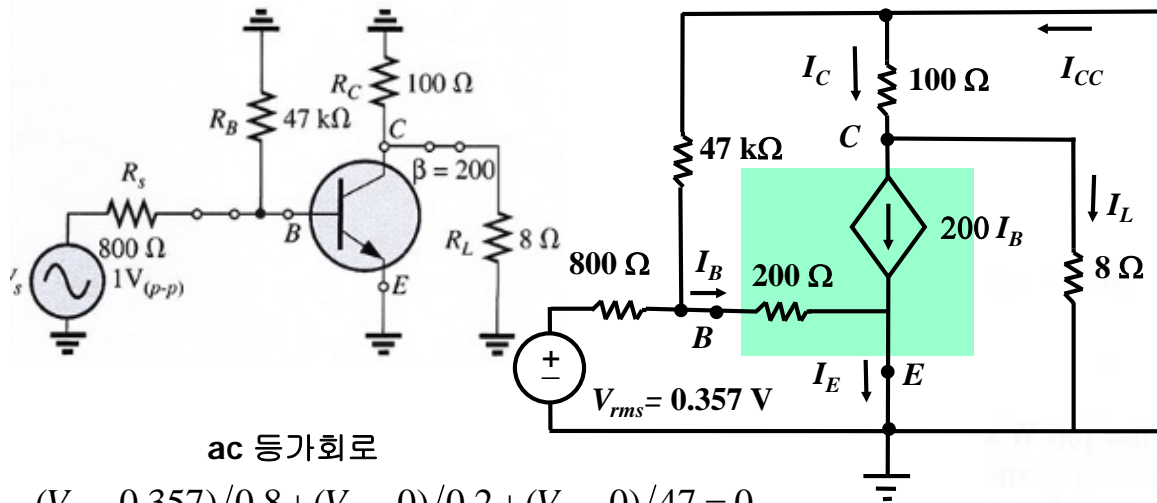


- 직류 동작점은 교류 이득에 영향을 준다.

Robert L. Boylestad, Introductory Circuit Analysis, 10th edition, Prentice Hall, 2002, p. 826, Figure 18.91

Applications – Transistor Power Amplifier (II)

- 교류 해석: 직류 전압원은 모두 0 V 로 세팅한다. 커패시터는 단락으로 처리하면 아래의 회로가 된다.
- 가청 주파수의 중간 주파수인 10 kHz 에서의 임피던스는 $1/j\omega C = -j/(6.28 \times 10^4 \times 10^{-6}) = -j 15.92 \Omega$ 가 되어 다른 저항에 비해 작다고 여겨 단락으로 처리한다. 트랜지스터 입력저항은 200 Ω 이다.



$$(V_B - 0.357)/0.8 + (V_B - 0)/0.2 + (V_B - 0)/47 = 0$$

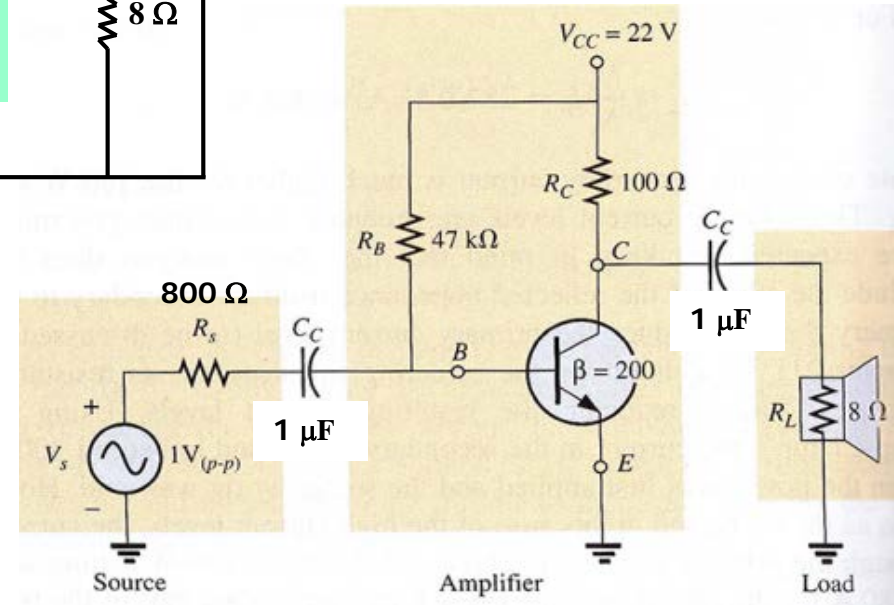
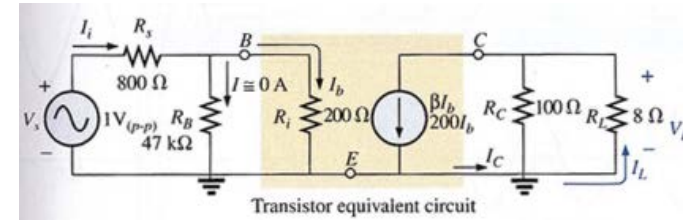
$$V_B = 71.16 \text{ mV}_{\text{rms}}, I_B = 71.16 \text{ mV}_{\text{rms}}/200 \Omega = 0.3558 \text{ mA}_{\text{rms}}$$

$$(V_C - 0)/100 + (V_C - 0)/8 + 200 \times 3.558 \times 10^{-4} \text{ A}_{\text{rms}} = 0$$

$$V_C = -0.5271 \text{ V}_{\text{rms}}$$

$$P_{8\Omega} = (0.5271)^2/8 = 34.73 \text{ mW}$$

- 스피커에 전달되는 파워가 너무 작다.
- 스피커의 저항을 100 Ω 이라 하면, 최대 전력 전달 조건이 만족되고 컬렉터의 전류의 반이 스피커로 흐른다.



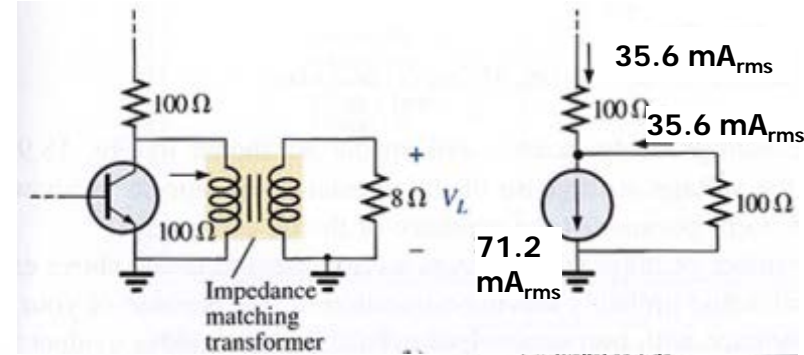
Transistor Amplifier

Robert L. Boylestad, Introductory Circuit Analysis, 10th edition, Prentice Hall, 2002, p. 826, Figure 18.91

Applications – Transistor Power Amplifier (III)

- 임피던스 매칭: 변압기에 의해 임피던스 매칭을 하면 $8\ \Omega$ 을 $100\ \Omega$ 처럼 보이게 할 수 있고 최대전력이 전달된다.
- 그러면 전압이 $-3.558\ V_{rms}$ 가 되고 스피커에서의 파워가 $126.6\ mW$ 가 되어 3.6배 커진다.

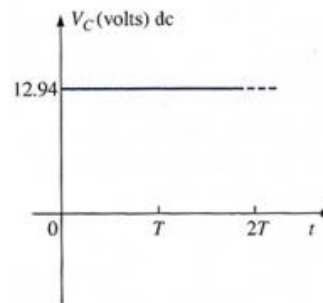
$$P_{100\Omega} = (3.558 V_{rms})^2 / 100\ \Omega = 126.6\ mW$$



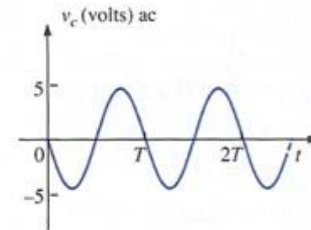
- 커패시터가 직류 회로를 분리하기 때문에 $100\ \Omega$ 부하를 연결하는 것으로 해석해도 직류 해석 값은 바뀌지 않는다.

- 커패시터에 의해 직류와 교류가 분리가 되므로 중첩의 원리를 적용하여 해를 구할 수 있다.

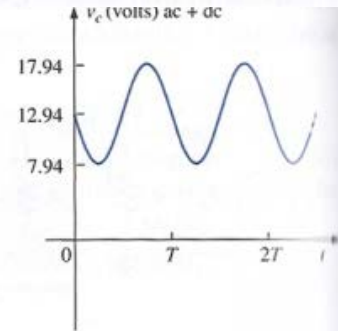
- 컬렉터 전압과 전원의 전압, 트랜지스터 베이스의 전압은 각각 오른 쪽과 같다.



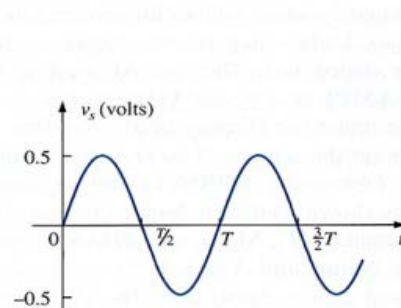
컬렉터 전압 (a) 직류 해석,



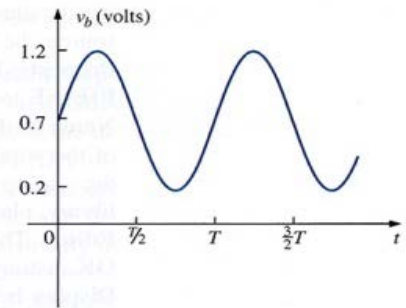
(b) 교류해석,



(c) 직류 + 교류 해석



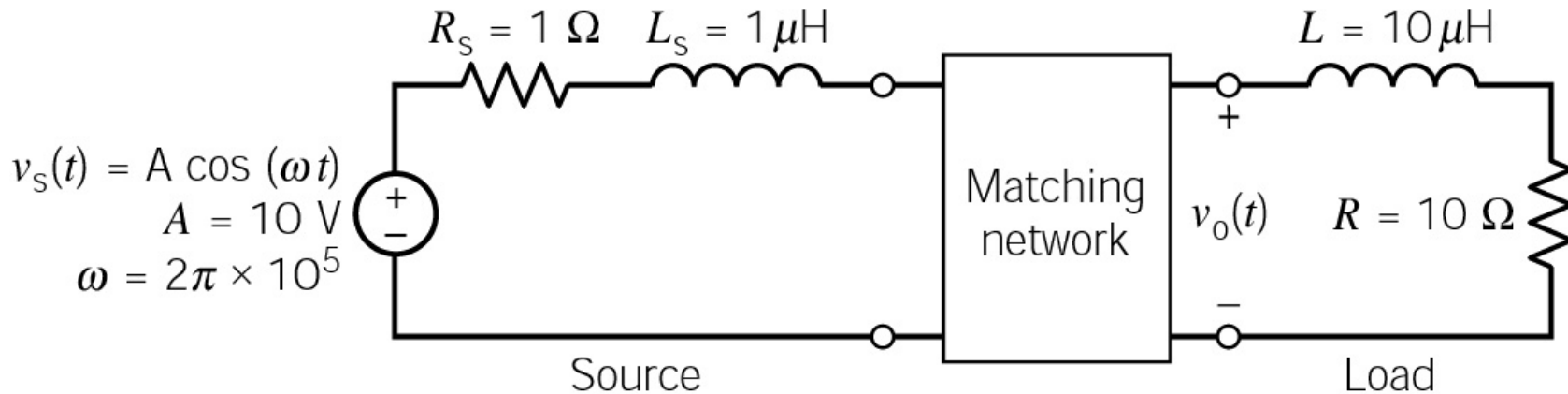
(a) 전원의 전압,



(b) 트랜지스터 베이스 전압

Maximum Power Transfer (I)

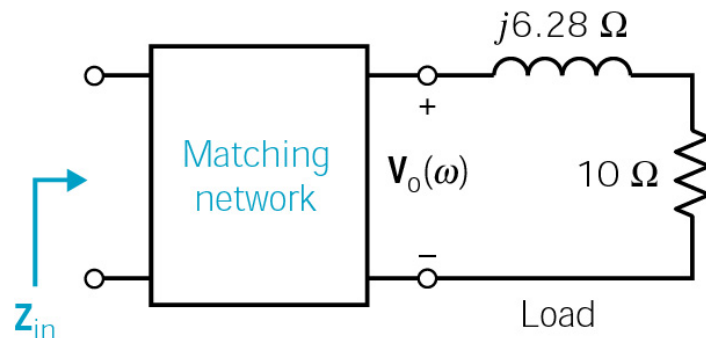
- 실제 **cellular telephone antenna**의 입력 임피던스는 $10 + j6.28 \Omega$ 이다.
- 부하에 최대 전력이 전달되도록 회로망을 설계하라.



$$\mathbf{Z}_s = R_s + j\omega L_s = 1 + j2\pi 10^5 \times 10^{-6} = 1 + j0.628$$

- 최대 전력이 전달되는 임피던스는
입력 단에서 보았을 때

$$\mathbf{Z}_{in} = \mathbf{Z}_s^* = 1 - j0.628$$



Maximum Power Transfer (II)

- 변압기를 사용하여 전체적인 계수를 조정

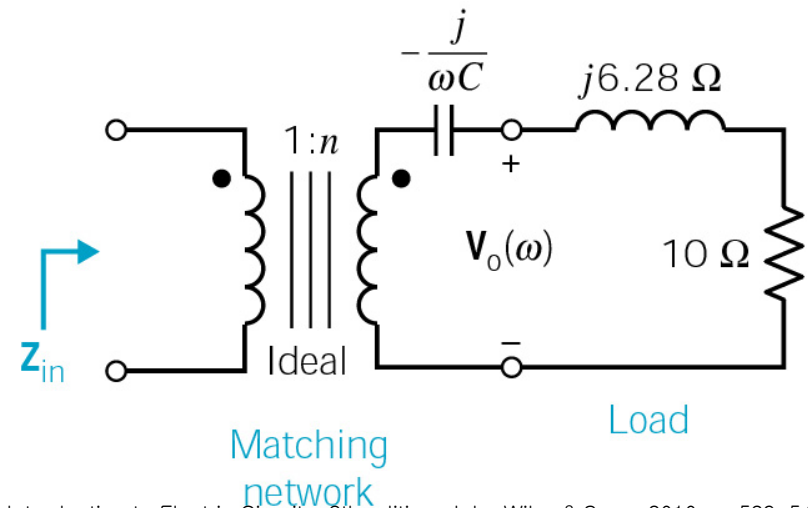
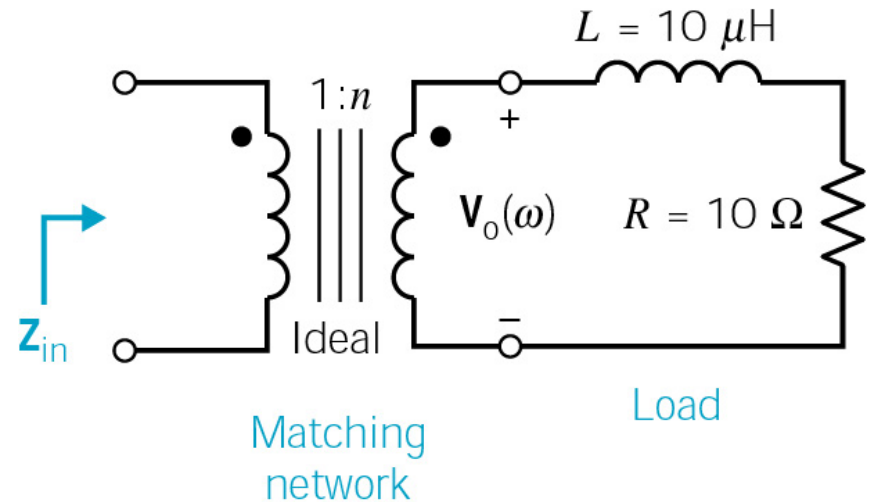
$$\mathbf{Z}_{in} = \frac{1}{n^2} (R + j\omega L) = \frac{1}{n^2} (10 + j6.28)$$

$$n = 3.16$$

- n^2 이 10 이면 실수부는 최대 전력 전달 조건에 만족이 되나 허수부는 만족이 안된다.
- 캐패시터를 삽입.

$$\begin{aligned} \mathbf{Z}_{in} &= \mathbf{Z}_s^* = 1 - j0.628 \\ &= \frac{1}{10} (10 + j6.28 - j\frac{1}{\omega C}) \end{aligned}$$

$$\begin{aligned} C &= \frac{1}{10 \times 2\pi \times 10^5 \times 2 \times 0.628} \\ &= 0.1267 \mu\text{F} \end{aligned}$$



Richard C. Dorf & James A. Svoboda, Introduction to Electric Circuits, 8th edition, John Wiley & Sons, 2010, p. 539-540